

ارتعاش ورق‌های مدرج تحت جرم گستردۀ با استفاده از تئوری تغییرشکل برشی مرتبۀ سوم*

علیرضا شوشتاری^(۱) رضا مطهری^(۲) محمد رضا کاری^(۳)

چکیده در این مقاله ارتعاش آزاد یک ورق مدرج مستطیلی تحت اثر جرم گستردۀ موضعی بررسی شده است. خواص ورق‌های مدرج مانند مدول یا نگ و چگالی در راستای ضخامت ورق به صورت پیوسته متغیر است. ورق به حالت مدرج توانی، سیگموید و یا نمایی تعریف می‌شود. تکیه‌گاه ورق ساده در نظر گرفته می‌شود و معادلات حرکت با استفاده از اصل همیلتون و براساس ثئوری تغییرشکل برشی مرتبۀ سوم به دست می‌آیند. اثر پارامترهای مختلفی مانند، ابعاد ورق و جرم گستردۀ و نسبت جرم روی فرکانس‌های طبیعی آن بررسی شده است. با مقایسه نتایج به دست آمده با نتایج ارائه شده قبلی نشان داده شده است که نتایج حاضر از دقت خوبی برخوردار است.

واژه‌های کلیدی ارتعاش آزاد، ورق مستطیلی مدرج، جرم گستردۀ موضعی، ثئوری مرتبۀ سوم تغییرشکل برشی.

Vibration of FGM Plates With Distributed Mass Using Third Order Shear Deformation Theory

A. Shooshtari R. Motahari M. Kari

Abstract In this paper, free vibration of rectangular functionally graded material (FGM) plates with distributed patch mass is analyzed. Properties of these plates like Young's modulus and density vary continuously throughout the thickness direction. The plate is defined by power-law, sigmoid or exponential function. The boundary condition of the plate is assumed to be simply supported and the equation of motion is obtained by using of Hamilton principle and third order shear deformation theory. The effects of different parameters such as the plate and mass dimensions and mass ratio on the natural frequencies of the plate are analyzed. Compared to previous results, our results are very accurate in similar cases.

Key Words Free Vibration, Rectangular Plate, Distributed Patch Mass, Third Order Shear Deformation Theory.

*تاریخ دریافت مقاله ۹۲/۱۲/۱۷ و تاریخ پذیرش آن ۹۳/۱۰/۲۲ می‌باشد.

(۱) نویسنده مسئول: دانشیار گروه مهندسی مکانیک، دانشکله فنی مهندسی، دانشگاه بوعالی سینا، همدان. shooshta@basu.ac.ir.

(۲) دانشجوی کارشناسی ارشد، گروه مکانیک، دانشگاه آزاد اسلامی، واحد همدان، همدان، ایران.

(۳) مری، گروه مکانیک، دانشگاه آزاد اسلامی، واحد ساوه، ساوه، ایران.

مقدمه

مستطیلی را با استفاده از تئوری تغییرشکل برشی مرتبه دوم ارائه کرد. سینق (Singh) و همکارانش [7] نیز در سال ۲۰۰۱، فرکانس‌های طبیعی ورق‌های مرکب با مواد تصادفی را با استفاده از تئوری تغییرشکل برشی مرتبه بالا به دست آوردند. کانت (Kant) [8] در همان سال حل تحلیلی ارتعاش ورق‌های لایه‌ای مرکب را با استفاده از تئوری تغییرشکل برشی مرتبه بالا ارائه کرد. هم‌چنین رستگار (Rastgaar) و همکارانش [9] در سال ۲۰۰۶، فرکانس‌های طبیعی ورق‌های مرکب مستطیلی را با استفاده از تئوری تغییرشکل برشی مرتبه سوم محاسبه و ارائه کردند.

از سوی دیگر، بسیاری از ورق‌ها تحت اثر جرم‌هایی که روی آنها سوار هستند، قرار می‌گیرند؛ به عنوان مثال، بوردهای الکترونیکی را که قطعات مختلفی روی آنها وجود دارد می‌توان ورق‌هایی در نظر گرفت که تحت اثر جرم‌هایی که روی آنها وجود دارد قرار دارند. بدلیل نقطه‌ای نبودن این جرم‌ها تحلیل ارتعاشی این ورق‌ها با وجود جرم‌های گستردۀ موضوعی از اهمیت بالایی برخوردار است. هر چند مقالاتی در زمینه تحلیل ارتعاشی ورق‌ها با جرم‌های متتمرکز وجود دارد، اما تحقیقات در زمینه ارتعاش ورق‌ها با جرم‌های گستردۀ موضوعی اندک است. در این میان می‌توان به مقالات ارائه شده توسط کمپاز (Kompaz) [10]، وانگ (Wong) [11] و علی‌بیگلو و همکارانش [12] اشاره کرد.

در میان انواع ورق‌ها، استفاده از ورق‌های ساخته شده از مواد مدرج (Functionally graded materials: FGM) [13] به دلیل داشتن خواص مکانیکی ممتاز و متفاوت که ناشی از تغییر پیوسته خواص در طول ضخامت آنها است و موجب ایجاد میدان‌های تنش پیوسته می‌شود، رو به گسترش است. به همین دلیل مسئله ارتعاش ورق‌های مدرج در سال‌های اخیر مورد توجه محققان قرار گرفته است. حل دقیق سه‌بعدی ورق‌های مستطیلی مدرج با تکیه‌گاه‌های ساده توسط

بسیاری از سازه‌های مهندسی را می‌توان به صورت یک ورق مستطیلی در نظر گرفت. ورق‌ها در کاربردهای متفاوتی مانند صنایع هواپیما، کشتی‌سازی و خودرو استفاده می‌شوند و اغلب این ورق‌ها در کار تحت ارتعاش قرار می‌گیرند. لذا تحلیل ارتعاشی ورق‌ها از مسائل مورد توجه محققان است. از طرفی به دلیل اهمیت در نظر گرفتن تغییرشکل‌های برشی به خصوص در ورق‌های ضخیم، محققان تئوری‌های برشی جدیدی بر مبنای در نظر گرفتن تغییرشکل‌های برشی ارائه کردند. از جمله اولین تحقیق‌ها در این مورد، مقاله ارائه شده توسط استاووسکی (Stavski) [1] در سال ۱۹۶۵ بود. پس از آن توسعه این روش توسط محققان دیگر ادامه پیدا کرد. برت (Bert) [2] اثر تغییرشکل برشی را روی ارتعاش ورق‌های مستطیلی لایه‌ای بررسی کرد و تعداد مدهای ارتعاشی بیشتری را ارائه داد. ردی (Reddy) [3] در سال ۱۹۷۹ مسئله ارتعاش ورق‌های مستطیلی لایه‌ای را با در نظر گرفتن تغییرشکل برشی به کمک روش المان محدود تحلیل کرد. او هم‌چنین در سال ۱۹۸۹ با بررسی تحلیلی و المان محدود مسئله ارتعاش ورق‌های مستطیلی با استفاده از روش‌های مختلف و مقایسه آنها نشان داد که در نظر گرفتن تغییرشکل‌های برشی در تحلیل ارتعاشی آنها مهم است [4]. وی [5] سرانجام در سال ۱۹۹۷ در کتاب خود شرح کاملی را از انواع تئوری‌های موجود در زمینه تحلیل ورق‌ها مانند تئوری کلاسیک و تئوری‌های مرتبه اول، دوم و سوم تغییرشکل برشی ارائه کرد. در فصل یازدهم این کتاب وی نشان داد که با استفاده از تئوری مرتبه سوم در مقایسه با دیگر تئوری‌ها جواب‌های دقیق‌تری به دست می‌آید و از طرفی به دلیل پیچیدگی روش و زمان بر بودن تحلیل با استفاده از تئوری‌های مرتبه بالاتر، استفاده از تئوری مرتبه سوم کافی است و جواب‌ها نیز از دقت بالایی برخوردارند. خدیر (Khdeir) [6] در سال ۱۹۹۹ معادلات کامل تحلیل ارتعاش ورق‌های

ارائه شد. همان‌طور که در ابتدا ذکر شد، امروزه مواد مدرج به‌دلیل پیوستگی خواص مکانیکی در راستای ضخامت کاربرد گسترده‌ای در ساخت بدنه هواپیماها، فضایپیماها و به‌طور کلی صنایع هوافضا پیدا کرده است. در بسیاری از این موارد روی ورق‌های ساخته شده از این مواد قطعاتی نصب می‌شود که می‌توان آنها را مانند جرم‌هایی در نظر گرفت که باید در تحلیل ارتعاشی مورد توجه قرار بگیرند. لازم به ذکر است که در تمام مقالاتی که مسأله ارتعاش ورق‌های مدرج بررسی شده است وجود جرم گسترده موضعی در تحلیل مورد توجه قرار نگرفته است.

در این مقاله ارتعاش آزاد یک ورق مدرج مستطیلی تحت اثر جرم گسترده موضعی بررسی شده است. ضریب پواسون ورق ثابت در نظر گرفته شده، اما مدول یانگ و چگالی در راستای ضخامت ورق به‌صورت پیوسته متغیر است. ورق به سه حالت مدرج توانی (Power-Law FGM (P-FGM)، سیگموید (Sigmoid FGM (S-FGM) و یانمایی (Exponential FGM (E-FGM)) تعریف شده است. تکیه‌گاه ورق ساده در نظر گرفته شده و معادلات حرکت با استفاده از اصل همیلتون و براساس تئوری تغییرشکل برಶی مرتبه سوم به‌دست آمده است. فرکانس‌های طبیعی ورق محاسبه و اثر پارامترهای مختلف مانند ابعاد ورق و جرم، نسبت جرم، نوع ورق و سطح اثر جرم روی آنها بررسی شده است. با مقایسه نتایج به‌دست آمده با نتایج ارائه شده قبلی در حالتهای مشابه نشان داده شده است که نتایج حاضر از دقت خوبی برخوردار است.

تعريف مسأله

یک ورق مستطیلی به طول a ، عرض b و ضخامت h ساخته شده از مواد مدرج را مطابق شکل (۱) در نظر بگیرید. محورهای x و y در شکل نشان داده شده و جهت مثبت محور z از وسط ورق به سمت

ول (Vel) [14] در سال ۲۰۰۴ ارائه شد و نتایج با استفاده از تئوری‌های مختلف مانند تئوری تغییرشکل برشی مرتبه اول و سوم و تئوری کلاسیک مقایسه شد. در همان سال کیان (Qian) و همکارانش [15] مسأله تغییرشکل استاتیکی و ارتعاش آزاد و اجباری یک ورق مستطیلی مدرج ضخیم را با استفاده از تئوری Petrov-مرتبه‌بالای برشی و روش پترو-گلرکین (Galerkin) تحلیل و بررسی کردند. بررسی جامع ارتعاش آزاد و کمانش ورق‌های ساندویچی ساخته شده از مواد مدرج نیز توسط زنکور (Zenkour) [16] در سال ۲۰۰۵ ارائه شد. در این تحقیق تأثیر تغییرشکل برشی عرضی، نسبت ابعاد ورق و نسبت ضخامت به ابعاد ورق مورد بررسی قرار گرفته است. در سال ۲۰۰۶ فریرا (Ferreira) و همکارانش [17] فرکانس‌های طبیعی یک ورق مدرج مستطیلی با تکیه‌گاه‌های ساده را با استفاده از تئوری مرتبه اول و سوم تغییرشکل برشی محاسبه و نتایج دو تئوری را با یکدیگر مقایسه کردند. ارتعاشات آزاد ورق‌های مستطیلی ضخیم ساخته شده از مواد مدرج و با تکیه‌گاه‌های ساده با استفاده از تئوری تغییرشکل برشی مرتبه اول توسط هاشمی و همکارانش [18] در سال ۲۰۱۰ ارائه شد. پاسخ استاتیکی و ارتعاشات آزاد ورق‌های ساخته شده از جنس مواد مدرج با استفاده از تئوری مرتبه‌بالای تغییرشکل برشی در تحقیقی دیگر توسط تلها (Talha) [19] در سال ۲۰۱۰ بررسی شد. هم‌چنین برای به‌دست آوردن فرمول دقیقی برای محاسبه فرکانس‌های طبیعی ورق‌های ساخته شده از مواد مدرج براساس فرکانس‌های ورق‌های ایزوتروپیک متناظر تحقیقی توسط افرایم (Effraim) [20] انجام شد. اویماز (Oymaz) [21] در سال ۲۰۱۲، در مقاله‌ای ارتعاشات ورق‌های ناهمگن ساخته شده از مواد مدرج را با روش ریتز بررسی کرد. حل مسأله ارتعاش غیرخطی ورق‌های ساخته شده از مواد مدرج تحت بارهای تصادفی توسط دوگان (Dogan) [22] در سال ۲۰۱۳

$$E(z) = g_1(z)E_1 + [1 - g_1(z)]E_2, 0 \leq z \leq h/2 \quad (4)$$

$$E(z) = g_2(z)E_1 + [1 - g_2(z)]E_2, -h/2 \leq z \leq 0 \quad (5)$$

$$\rho(z) = g_1(z)\rho_1 + [1 - g_1(z)]\rho_2, 0 \leq z \leq h/2 \quad (6)$$

$$\rho(z) = g_2(z)\rho_1 + [1 - g_2(z)]\rho_2, -h/2 \leq z \leq 0 \quad (7)$$

$$g_1(z) = 1 - 1/2(\frac{h/2 - z}{h/2})^p, 0 \leq z \leq h/2 \quad (8)$$

$$g_2(z) = 1/2(\frac{h/2 + z}{h/2})^p, -h/2 \leq z \leq 0 \quad (9)$$

در حالت ورق مدرج نمایی از یک تابع نمایی برای توصیف خواص ورق در طول ضخامت آن استفاده می‌شود [13]:

$$E(z) = Ae^{B(z+h/2)} \quad (10)$$

$$\rho(z) = Ae^{B(z+h/2)} \quad (11)$$

$$A = E_2, B = \frac{1}{h} \ln(\frac{E_1}{E_2}) \quad (12)$$

روابط اساسی حاکم

میدان جابه‌جایی با استفاده از تئوری تغییرشکل برشی مرتبه سوم به‌شکل زیر معرفی می‌شود [17]:

$$u(x, y, z, t) = u_0(x, y, t) + z\phi_x(x, y, t) \quad (13)$$

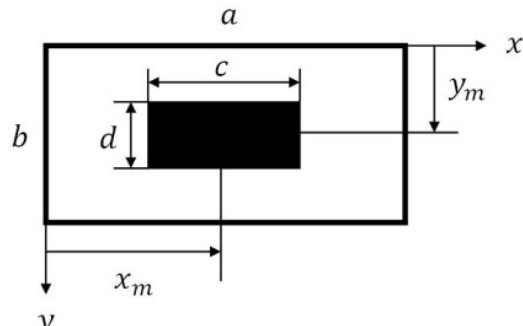
$$-\frac{4}{3h^2}z^3(\phi_x + \frac{\partial w_0}{\partial x})$$

$$v(x, y, z, t) = v_0(x, y, t) + z\phi_y(x, y, t) \quad (14)$$

$$-\frac{4}{3h^2}z^3(\phi_y + \frac{\partial w_0}{\partial y})$$

$$w(x, y, z, t) = w_0(x, y, t) \quad (15)$$

پایین است. مطابق شکل (۱)، جرم گستردۀ موضعی (M) به طول c، عرض d و با مختصات مرکز جرم (x_m, y_m) روی ورق گرفته است. مدول یانگ (E) و چگالی (ρ) ورق مدرج در سطح بالا و پایین آن متفاوت است و در طول ضخامت ورق به‌طور پیوسته تغییر می‌کند اما ضریب پواسون (ν) در طول ضخامت ثابت در نظر گرفته شده است.



شکل ۱ ورق مدرج مستطیلی با جرم گستردۀ موضعی

روش حل

خواص ورق مدرج. ورق مدرج در سه حالت ورق مدرج توانی، سیگموید و نمایی در نظر گرفته می‌شود. در حالت ورق مدرج توانی چگالی و مدول یانگ به‌شکل زیر نوشته می‌شود [13]:

$$E(z) = g(z)E_1 + [1 - g(z)]E_2 \quad (1)$$

$$\rho(z) = g(z)\rho_1 + [1 - g(z)]\rho_2 \quad (2)$$

$$g(z) = (\frac{z + h/2}{h})^p \quad (3)$$

در روابط فوق E₁ و E₂ و ρ₁ و ρ₂ به‌ترتیب مدول یانگ و چگالی سطح پایین (z = h/2) و بالای ورق (z = -h/2) و p ضریب ماده مدرج است. در حالت ورق مدرج سیگموید خواص در طول ضخامت توزیع یکنواخت‌تری دارد و از روابط زیر پیروی می‌کند [13]:

$$\begin{cases} \gamma^0_{yz} \\ \gamma^0_{xz} \end{cases} = \begin{cases} \frac{\partial w_0}{\partial y} + \phi_y \\ \frac{\partial w_0}{\partial x} + \phi_x \end{cases} \quad (d-18)$$

$$\begin{cases} \gamma^2_{yz} \\ \gamma^2_{xz} \end{cases} = -\frac{4}{h^2} \begin{cases} \frac{\partial w_0}{\partial y} + \phi_y \\ \frac{\partial w_0}{\partial x} + \phi_x \end{cases} \quad (e-18)$$

برای روابط تنش کرنش نیز داریم:

$$\begin{cases} \sigma_{xx} \\ \sigma_{yy} \\ \sigma_{xy} \end{cases} = \frac{E}{1-v^2} \begin{bmatrix} 1 & v & 0 \\ v & 1 & 0 \\ 0 & 0 & (1-v^2)/2 \end{bmatrix} \begin{cases} \epsilon_{xx} \\ \epsilon_{yy} \\ \gamma_{xy} \end{cases} \quad (19)$$

$$\begin{cases} \sigma_{yz} \\ \sigma_{xz} \end{cases} = \frac{E}{2(1+v)} \begin{bmatrix} 1 & 0 \\ 0 & 1 \end{bmatrix} \begin{cases} \gamma_{yz} \\ \gamma_{xz} \end{cases} \quad (20)$$

متوجههای تنش نیز از روابط زیر به دست می‌آید:

$$\begin{cases} N_{\alpha\beta} \\ M_{\alpha\beta} \\ P_{\alpha\beta} \end{cases} = \int_{-h/2}^{h/2} \sigma_{\alpha\beta} \begin{cases} 1 \\ z \\ z^3 \end{cases} dz \quad (\text{الف}-21)$$

$$\begin{cases} Q_\alpha \\ R_\alpha \end{cases} = \int_{-h/2}^{h/2} \sigma_{\alpha z} \begin{cases} 1 \\ z^2 \end{cases} dz \quad (\text{ب}-21)$$

در روابط فوق α و β می‌توانند مختصه‌های x و یا y را اختیار کنند. با استفاده از روابط (۱۸-۲۱) متوجههای تنش بر حسب کرنش‌ها به دست می‌آید [۵]

$$\begin{cases} \{N\} \\ \{M\} \\ \{P\} \end{cases} = \begin{bmatrix} [A] & [B] & [E'] \\ [B] & [D] & [F] \\ [E'] & [F] & [H] \end{bmatrix} \begin{cases} \{\epsilon^0\} \\ \{\epsilon^1\} \\ \{\epsilon^3\} \end{cases} \quad (22)$$

$$\begin{cases} \{Q\} \\ \{R\} \end{cases} = \begin{bmatrix} [A'] & [D'] \\ [D'] & [F'] \end{bmatrix} \begin{cases} \{\gamma^0\} \\ \{\gamma^2\} \end{cases} \quad (23)$$

در معادلات بالا u , v و w به ترتیب جابه‌جایی ورق در جهت‌های x , y و z و u_0 , v_0 و z و ϕ_x و ϕ_y چرخش‌های جابه‌جایی صفحه میانی ورق و ϕ_x و ϕ_y بر اساس فوانین برشی هستند. روابط کرنش- جابه‌جایی براساس فوانین الاستیسیته خطی و با استفاده از میدان جابه‌جایی تعریف شده به صورت زیر نوشته می‌شوند [۵]:

$$\begin{cases} \epsilon_{xx} \\ \epsilon_{yy} \\ \gamma_{xy} \end{cases} = \begin{cases} \epsilon^0_{xx} \\ \epsilon^0_{yy} \\ \gamma^0_{xy} \end{cases} + z \begin{cases} \epsilon^1_{xx} \\ \epsilon^1_{yy} \\ \gamma^1_{xy} \end{cases} + z^3 \begin{cases} \epsilon^3_{xx} \\ \epsilon^3_{yy} \\ \gamma^3_{xy} \end{cases} \quad (16)$$

$$\begin{cases} \gamma_{yz} \\ \gamma_{xz} \end{cases} = \begin{cases} \gamma^0_{yz} \\ \gamma^0_{xz} \end{cases} + z^2 \begin{cases} \gamma^2_{yz} \\ \gamma^2_{xz} \end{cases} \quad (17)$$

که در روابط فوق برای روابط زیر داریم

$$\begin{cases} \epsilon^1_{yy} \\ \epsilon^0_{yy} \\ \epsilon^3_{xx} \\ \epsilon^1_{xx} \\ \epsilon^0_{xx} \end{cases} = \begin{cases} \frac{\partial u_0}{\partial x} \\ \frac{\partial v_0}{\partial y} \\ \frac{\partial u_0}{\partial y} + \frac{\partial v_0}{\partial x} \end{cases} \quad (\text{الف}-18)$$

$$\begin{cases} \epsilon^1_{xx} \\ \epsilon^1_{yy} \\ \gamma^1_{xy} \end{cases} = \begin{cases} \frac{\partial \phi_x}{\partial x} \\ \frac{\partial \phi_y}{\partial y} \\ \frac{\partial \phi_x}{\partial y} + \frac{\partial \phi_y}{\partial x} \end{cases} \quad (\text{ب}-18)$$

$$\begin{cases} \epsilon^3_{xx} \\ \epsilon^3_{yy} \\ \gamma^3_{xy} \end{cases} = -\frac{4}{3h^2} \begin{cases} \frac{\partial \phi_x}{\partial x} + \frac{\partial^2 w_0}{\partial x^2} \\ \frac{\partial \phi_y}{\partial y} + \frac{\partial^2 w_0}{\partial y^2} \\ \frac{\partial \phi_x}{\partial y} + \frac{\partial \phi_y}{\partial x} + 2 \frac{\partial^2 w_0}{\partial x \partial y} \end{cases} \quad (\text{ج}-18)$$

(۱۸، ۲۲، ۲۳) جای‌گذاری می‌شود. ضرایب نیز از روابط (۲۴ و ۲۵) به دست می‌آیند. معادله انرژی جنبشی ورق (T_p) بدون وجود جرم گستردۀ نیز به شکل زیر نوشته می‌شود [۵]

$$T_p = \frac{1}{2} \int_0^a \int_0^b \int_{-h/2}^{h/2} \rho [(\frac{\partial u}{\partial t})^2 + (\frac{\partial v}{\partial t})^2 + (\frac{\partial w}{\partial t})^2] dx dy dz \quad (29)$$

با استفاده از رابطه‌های (۱۳-۱۸) می‌توان انرژی جنبشی ورق را برحسب جایه‌جایی نوشت. معادله انرژی جنبشی ناشی از جرم گستردۀ موضعی (T_m) که روی سطح بالایی ورق قرار گرفته نیز عبارتست از:

$$T_m = \frac{1}{2} \int_{x_m-c/2}^{x_m+c/2} \int_{y_m-d/2}^{y_m+d/2} \gamma_m [(\frac{\partial u}{\partial t})^2 + (\frac{\partial v}{\partial t})^2 + (\frac{\partial w}{\partial t})^2] dx dy, \text{ at: } z = -h/2 \quad (30)$$

در رابطه فوق γ_m مقدار جرم گستردۀ بر واحد مساحت است. کل انرژی جنبشی ورق از مجموع دو انرژی جنبشی ذکر شده به دست می‌آید ($T = T_p + T_m$). شرایط مرزی برای ورق با تکیه‌گاه ساده به صورت زیر در نظر گرفته می‌شود:

$$u_0 = w_0 = \phi_x = N_{yy} = M_{yy} = 0 \text{ at } y = 0, b \quad (31)$$

$$v_0 = w_0 = \phi_y = N_{xx} = M_{xx} = 0 \text{ at } x = 0, a \quad (32)$$

در نظر گرفتن سری‌های سینوسی و کسینوسی برای میدان جایه‌جایی در حل مسئله ارتعاش ورق‌های مستطیلی تحت اثر جرم اضافه شده روی آن در تحقیقات قبلی مورد استفاده قرار گرفته است [12] و لذا سری‌های زیر که شرایط مرزی فوق را ارضا می‌کند برای میدان جایه‌جایی در نظر گرفته می‌شوند:

در روابط فوق برای ماتریس‌های A و A' داریم :[۵]

$$A = \begin{bmatrix} A_1 & A_2 & 0 \\ A_2 & A_1 & 0 \\ 0 & 0 & A_3 \end{bmatrix}, A' = \begin{bmatrix} A_3 & 0 \\ 0 & A_3 \end{bmatrix} \quad (24-\text{الف})$$

$$A_2 = vA_1, A_3 = [(1-v)/2]A_1 \quad (24-\text{ب})$$

که در آن:

$$(A_1, B_1, D_1, E'_1, F_1, H_1) = \int_{-h/2}^{h/2} E(l, z, z^2, z^3, z^4, z^6) dz \quad (25)$$

ماتریس‌های B ، D ، E' ، F و H مانند A بوده و D' و F' نیز مانند A' هستند. همچنین ϵ^1 ، ϵ^0 ، ϵ^3 ، γ^0 و γ^2 در روابط (۲۳ و ۲۲) عبارتند از:

$$\{\epsilon^0\} = \begin{Bmatrix} \epsilon_{xx}^0 \\ \epsilon_{yy}^0 \end{Bmatrix}, \{\epsilon^1\} = \begin{Bmatrix} \epsilon_{xx}^1 \\ \epsilon_{yy}^1 \end{Bmatrix}, \{\epsilon^3\} = \begin{Bmatrix} \epsilon_{xx}^3 \\ \epsilon_{yy}^3 \end{Bmatrix} \quad (26)$$

$$\{\gamma^0\} = \begin{Bmatrix} \gamma_{yz}^0 \\ \gamma_{xz}^0 \end{Bmatrix}, \{\gamma^2\} = \begin{Bmatrix} \gamma_{yz}^2 \\ \gamma_{xz}^2 \end{Bmatrix} \quad (27)$$

ورق با جرم گستردۀ موضعی. یک جرم گستردۀ موضعی M را همان‌طور که در شکل (۱) نشان داده شده است در نظر بگیرید. فرض شده است که جرم از خم شوند ورق در جایی که قرار گرفته است جلوگیری نمی‌کند. معادله انرژی کرنشی ورق را به صورت زیر می‌توان نوشت [۵]:

$$U = \frac{1}{2} \int_0^a \int_0^b \int_{-h/2}^{h/2} [\sigma_{xx}\epsilon_{xx} + \sigma_{yy}\epsilon_{yy} + \sigma_{xy}\epsilon_{xy} + \sigma_{xz}\gamma_{xz} + \sigma_{yz}\gamma_{yz}] dx dy dz \quad (28)$$

با استفاده از روابط (۲۱ و ۱۶، ۱۷) انتگرال‌گیری روی محور z انجام می‌گردد و سپس از روابط

$$\delta L = \delta(T - U) \quad (40)$$

با قراردادن روابط (۳۳-۳۷) در معادلات حرکت و ساده‌سازی آن یک دستگاه معادله همگن به‌شکل زیر حاصل می‌شود:

$$([K] - \omega^2 [S])\{\Delta\} = 0 \quad (41)$$

که $[K]$ ماتریس سختی، $[S]$ ماتریس جرم و $\{\Delta\}$ بردار ضرایب نامعین است. نمونه درایه‌های ماتریس جرم و سختی در معادله فوق برای یک حالت از توابع ماده مدرج در پیوست (ب) آورده شده است. معادله (۴۱) معمولاً به صورت بی‌بعد حل می‌شود و برای این کار در ابتدا معادله‌های انرژی کرنشی و جنبشی را به صورت بی‌بعد می‌نویسند و سپس جابه‌جایی‌ها را نیز به شکل بی‌بعد در آن قرار می‌دهند. لذا برای بی‌بعدسازی روش حل در این مقاله، پارامترهای زیر در نظر گرفته می‌شوند:

$$\bar{x} = \frac{x}{a}, \bar{y} = \frac{y}{b}, \bar{z} = \frac{z}{h} \quad (42-\text{الف})$$

$$\bar{u}_0 = \frac{u_0}{a}, \bar{v}_0 = \frac{v_0}{a}, \bar{w}_0 = \frac{w_0}{a} \quad (42-\text{ب})$$

$$\bar{c} = \frac{c}{a}, \bar{d} = \frac{d}{b}, r = \frac{a}{b} \quad (42-\text{ج})$$

$$\Omega = \omega h \sqrt{\frac{\rho_2}{E_2}}, r_m = \frac{\gamma_m cd}{\rho abh} \quad (42-\text{د})$$

در روابط بالا Ω فرکانس بی‌بعد و r_m نسبت جرم به جرم ورق است. با حل دستگاه معادله (۴۱) مقادیر ویژه آن که همان فرکانس‌های طبیعی ورق هستند محاسبه می‌شوند.

$$u_0(x, y, t) = \sum_{n=1}^{\infty} \sum_{m=1}^{\infty} U_{mn}(t) \quad (33)$$

$$\cos(\alpha_m x) \sin(\beta_n y) \quad (34)$$

$$v_0(x, y, t) = \sum_{n=1}^{\infty} \sum_{m=1}^{\infty} V_{mn}(t) \quad (34)$$

$$\sin(\alpha_m x) \cos(\beta_n y) \quad (35)$$

$$w_0(x, y, t) = \sum_{n=1}^{\infty} \sum_{m=1}^{\infty} W_{mn}(t) \quad (35)$$

$$\sin(\alpha_m x) \sin(\beta_n y) \quad (36)$$

$$\phi_x(x, y, t) = \sum_{n=1}^{\infty} \sum_{m=1}^{\infty} X_{mn}(t) \quad (36)$$

$$\cos(\alpha_m x) \sin(\beta_n y) \quad (37)$$

$$\phi_y(x, y, t) = \sum_{n=1}^{\infty} \sum_{m=1}^{\infty} Y_{mn}(t) \quad (37)$$

$$\sin(\alpha_m x) \cos(\beta_n y) \quad (38)$$

$$\alpha_m = \frac{m\pi}{a}, \beta_n = \frac{n\pi}{b} \quad (38)$$

در روابط بالا ضرایب U_{mn} ، V_{mn} ، W_{mn} و X_{mn} و Y_{mn} به صورت توابع مختلط نمایی بر حسب زمان فرض می‌شوند. به طور مثال برای U_{mn} می‌توان نوشت:

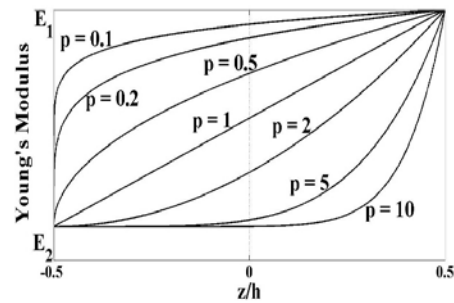
$$U_{mn}(t) = U_{mn}^0 e^{i\omega t} \quad (39)$$

در رابطه فوق U_{mn}^0 دامنه جابه‌جایی در زمان صفر و ω فرکانس طبیعی است. با استفاده از اصل همیلتون و با استفاده از رابطه (۴۰) معادلات حرکت حاکم بر مسأله به دست می‌آیند [۳] که به علت حجم زیاد معادلات و به منظور خلاصه‌نویسی از ذکر آنها صرف نظر گردیده است اما نحوه به دست آوردن معادلات حرکت با جزئیات در پیوست (الف) آورده شده است.

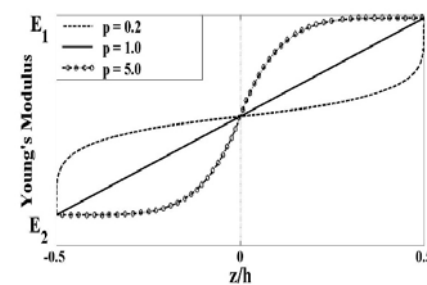
در شکل‌های (۲-۴) تغییرات مدول یانگ در راستای ضخامت برای یک ورق در سه حالت مدرج توانی، سیگموید و نمایی نشان داده شده است. با برابر صفر قرار دادن انرژی جنبشی ناشی از جرم گستردگی ($T_m = 0$) و حل دستگاه معادله (۴۱) فرکانس‌های ($T_m = 0$) و حل دستگاه معادله (۴۱) فرکانس‌های طبیعی بی بعد ورق بدون جرم به دست می‌آید. در این حالت می‌توان نتایج به دست آمده را با نتایج محاسبه شده قبلی مقایسه و دقت روش پیشنهادی را بررسی کرد. در جدول (۱) مقادیر فرکانس‌های طبیعی بی بعد به دست آمده برای یک ورق مربعی مدرج نوع توانی در نسبت‌های مختلف طول به ضخامت و نیز در مقادیر مختلف ضریب ماده p نشان داده و این مقادیر با نتایج به دست آمده توسط ول [۱۴]، کیان [۱۵] و فریرا [۱۷] مقایسه شده است. در جدول (۲) نیز مقادیر چهار فرکانس طبیعی بی بعد اول یک ورق مربعی مدرج توانی با نتایج ارائه شده توسط کیان [۱۵] و فریرا [۱۷] مقایسه شده است. با بررسی جداول (۲) و (۱) می‌توان مشاهده کرد که نتایج به دست آمده با استفاده از روش ارائه شده در این مقاله دقت خوب و قابل قبولی دارند.

جدول ۱ فرکانس بی بعد اول برای ورق مربعی مدرج توانی

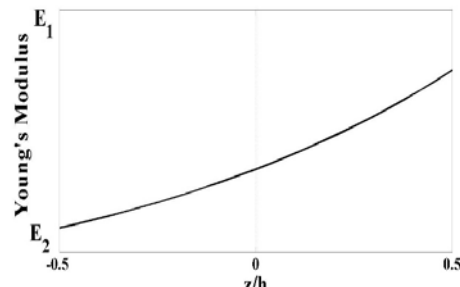
$P=3$	$P=2$	$P=1$	$P=1$	مرجع
$a/h = 5$	$a/h = 5$	$a/h = 5$	$a/h = 10$	
۰/۲۲۱۱	۰/۲۲۰۵	۰/۲۲۱۳	۰/۰۶۰۱	نتایج حاضر
۰/۲۲۰۲	۰/۲۱۸۸	۰/۲۱۸۸	۰/۰۵۹۲	فریرا [۱۷]
۰/۴۸	۰/۷۷	۱/۱	۱/۵	درصد خطأ ول
۰/۲۲۱۱	۰/۳۱۹۷	۰/۲۱۹۲	۰/۰۵۹۶	[۱۴]
۰/۰	۰/۳۶	۰/۹	۰/۸	درصد خطأ ول
۰/۲۱۷۲	۰/۲۱۵۳	۰/۲۱۵۲	۰/۰۵۸۴	کیان [۱۵]
۰/۳۹	۳/۴	۲/۷	۲/۸	درصد خطأ ول



شکل ۲ تغییرات مدول یانگ در راستای ضخامت برای یک ورق مدرج توانی



شکل ۳ تغییرات مدول یانگ در راستای ضخامت برای یک ورق سیگموید



شکل ۴ تغییرات مدول یانگ در راستای ضخامت برای یک ورق نمایی

نتایج عددی

خواص زیر برای یک ورق مدرج فرض شده است:

$$E_1 = 200 \text{ Gpa}, \rho_1 = 5700 \text{ kg/m}^3 \quad (43-\text{الف})$$

$$E_2 = 70 \text{ Gpa}, \rho_2 = 2702 \text{ kg/m}^3 \quad (43-\text{ب})$$

کلیه نتایج با فرض $v = 0/3$ محاسبه شده است.

جدول ۳ فرکانس بی بعد برای یک ورق بدون جرم مدرج توانی
و سیگموید، $p = 1$

$a/h = 20$	$a/h = 10$	$a/h = 5$	a/b
۰/۰۰۸۱	۰/۰۳۱۹	۰/۱۲۱۵	۰/۲
۰/۰۰۹۰	۰/۰۳۵۵	۰/۱۳۴۷	۰/۴
۰/۰۱۰۶	۰/۰۴۱۵	۰/۱۵۶۳	۰/۶
۰/۰۱۲۷	۰/۰۴۹۸	۰/۱۸۵۷	۰/۸
۰/۰۱۵۰	۰/۰۶۰۱	۰/۲۲۱۳	۱
۰/۰۱۸۸	۰/۰۷۳۲	۰/۲۶۵۶	۱/۲
۰/۰۲۲۸	۰/۰۸۸۱	۰/۳۱۴۵	۱/۴
۰/۰۲۷۴	۰/۱۰۰۰	۰/۳۹۸۶	۱/۶
۰/۰۲۲۵	۰/۱۲۳۹	۰/۴۲۷۰	۱/۸
۰/۰۳۸۲	۰/۱۴۴۵	۰/۴۸۹۳	۲

جدول ۴ فرکانس بی بعد برای یک ورق بدون جرم مدرج نمایی

$a/h = 20$	$a/h = 10$	$a/h = 5$	a/b
۰/۰۰۸۰	۰/۰۳۱۶	۰/۱۲۰۳	۰/۲
۰/۰۰۸۹	۰/۰۳۵۲	۰/۱۳۳۴	۰/۴
۰/۰۱۰۵	۰/۰۴۱۲	۰/۱۵۴۷	۰/۶
۰/۰۱۲۶	۰/۰۴۹۴	۰/۱۸۳۷	۰/۸
۰/۰۱۵۴	۰/۰۵۹۹	۰/۲۱۹۹	۱
۰/۰۱۸۷	۰/۰۷۲۶	۰/۲۶۲۴	۱/۲
۰/۰۲۲۶	۰/۰۸۷۳	۰/۳۱۰۶	۱/۴
۰/۰۲۷۲	۰/۱۰۴۱	۰/۳۶۳۷	۱/۶
۰/۰۳۲۲	۰/۱۲۲۶	۰/۴۲۱۱	۱/۸
۰/۰۳۷۹	۰/۱۴۳۰	۰/۴۸۲۲	۲

در جدول (۵) فرکانس طبیعی بی بعد یک ورق مربعی مدرج در دو حالت مدرج توانی (و یا سیگموئید) و نمایی به ازای $p = 1$ و $a/h = 10$ تحت اثر یک جرم گستردۀ موضعی ارائه شده است. جرم گستردۀ موضعی به دو شکل در نظر گرفته شده است. در حالت اول جرم در مرکز ورق با نسبت جرم (r_m) $۰/۵$ و ابعاد $۰/۴ \times a/b = d/b = c/a = ۰/۱$ و در حالت دوم جرم در مرکز ورق با نسبت جرم $۰/۹$ و ابعاد $c/a = d/b = ۰/۱$ در نظر گرفته می شود. مشخص

جدول ۲ چهار فرکانس بی بعد اول برای ورق مربع توانی،

$$p = 1, a/h = 20$$

مود (m,n)	نتایج حاضر	فریرا [17]	درصد خطأ [15]	کیان خطا	درصد خطأ	$a/h = 20$	$a/h = 10$	$a/h = 20$
(۱و۱)	۰/۰۱۴۷	۲/۰	۰/۰۱۴۹	۰/۰۰۹۰	۰/۰۰۸۱	۰/۰۰۸۰	۰/۰۰۸۰	۰/۰۰۸۰
(۲و۱)	۰/۰۳۸۱	۱/۶	۰/۰۳۷۵	۰/۰۳۷۷	۰/۰۱۰۶	۰/۰۱۰۶	۰/۰۱۰۶	۰/۰۱۰۶
(۲و۲)	۰/۰۳۸۱	۱/۶	۰/۰۳۷۵	۰/۰۳۷۷	۰/۰۱۰۶	۰/۰۱۰۶	۰/۰۱۰۶	۰/۰۱۰۶
(۲و۲)	۰/۰۶۰۱	۱/۵	۰/۰۵۹۲	۰/۰۵۹۳	۰/۰۳۸۲	۰/۰۳۸۲	۰/۰۳۸۲	۰/۰۳۸۲

در جدول های (۴ و ۳) مقادیر فرکانس های طبیعی بی بعد اول به ازای نسبت های مختلف a/h و a/b برای یک ورق مدرج در دو حالت مدرج توانی (و یا سیگموید) به ازای $p = 1$ و مدرج نمایی نشان داده شده است. در حالتی که $p = 1$ است با توجه به روابط (۹-۱) تغییرات چگالی و مدول یانگ در راستای ضخامت برای دو ورق مدرج توانی و سیگموید که ویژگی های یکسانی دارند، برابر است و لذا می توان گفت در حالتی که $p = 1$ است هر دو ورق مانند هم رفتار می کنند. همان گونه که مشاهده می شود فرکانس طبیعی بی بعد ورق با افزایش نسبت طول به عرض بیشتر و با افزایش نسبت طول به ضخامت یعنی نازک شدن ورق کمتر می شود. در حالتی که a/b افزایش می یابد به علت ثابت بودن a/h ، هم طول و هم ضخامت ورق زیاد می شود و بنابراین سختی ورق افزایش می یابد و با توجه به رابطه فرکانس بی بعد که رابطه مستقیم با سختی دارد، فرکانس بی بعد افزایش می یابد. در حالت دوم که a/h افزایش می یابد و a/b ثابت است، ورق نازک می شود و لذا سختی آن کاهش می یابد که این امر باعث کاهش فرکانس می شود. هم چنین با توجه به بالاتر بودن مقادیر فرکانس برای ورق مدرج توانی می توان نتیجه گرفت که ورق مدرج توانی صلیبت بیشتری نسبت به ورق مدرج نمایی از خود نشان می دهد.

جدول ۷ فرکانس بی بعد اول برای یک ورق مدرج نمایی با جرم گستردۀ

$a/h = 20$	$a/h = 10$	$a/h = 5$	a/b
۰/۰۰۲۱	۰/۰۰۵۱	۰/۰۲۰۳	۰/۲
۰/۰۰۲۹	۰/۰۰۸۳	۰/۰۳۳۴	۰/۴
۰/۰۰۳۲	۰/۰۱۳۵	۰/۰۵۰۳	۰/۶
۰/۰۰۴۱	۰/۰۱۶۷	۰/۰۶۸۰	۰/۸
۰/۰۰۴۸	۰/۰۲۰۱	۰/۰۸۲۲	۱
۰/۰۰۶۰	۰/۰۲۵۱	۰/۱۰۱۹	۱/۲
۰/۰۰۷۵	۰/۰۳۴۱	۰/۱۲۶۸	۱/۴
۰/۰۰۹۳	۰/۰۳۸۹	۰/۱۵۶۳	۱/۶
۰/۰۱۱۵	۰/۰۴۷۷	۰/۱۹۰۹	۱/۸
۰/۰۱۳۷	۰/۰۵۷۸	۰/۲۳۰۵	۲

در جدول‌های (۷ و ۶) مقادیر فرکانس‌های طبیعی یک ورق مدرج در دو حالت مدرج توانی (و یا سیگموید) به ازای $p = 1$ و مدرج نمایی با نسبت‌های مختلف طول به عرض و طول به ضخامت تحت اثر یک جرم گستردۀ موضعی با نسبت جرم $0/5$ و ابعاد $c/a = d/b = 0/04$ که در وسط ورق قرار گرفته است، آورده شده است. نتایج موجود در این جدول از روند نشان داده شده در جدول‌های (۴ و ۳) تبعیت می‌کند. فرکانس‌های طبیعی ورقی که تحت اثر یک جرم گستردۀ موضعی قرار گرفته است نسبت به همان مقادیر در حالتی که ورق بدون جرم گستردۀ است، کاهش می‌یابد. این کاهش ناشی از وجود جرم و افزایش انرژی جنبشی کل سیستم است. همچنین با توجه به مقادیر فرکانس‌ها می‌توان نتیجه گرفت که ورق مدرج توانی صلیبت بیشتری نسبت به ورق مدرج نمایی از خود نشان می‌دهد که این روند در جدول‌های (۴ و ۳) نیز مشاهده شد.

در جدول (۸) مقادیر فرکانس‌های طبیعی برای یک ورق مربعی مدرج در دو حالت مدرج توانی و سیگموید به ازای مقادیر مختلف p نشان داده شده است. ورق مربعی مذکور تحت اثر یک جرم گستردۀ

است که جرم گستردۀ در حالت دوم متمنکرتر از حالت اول است. با توجه به مقادیر موجود در جدول (۶)، هنگامی که جرم متمنکر است درصد کاهش فرکانس طبیعی بیشتر می‌شود چون اثر آن روی نقطه شکم در میانه ورق بیشتر شده و لذا انرژی جنبشی ناشی از جرم زیاد می‌شود (بیشترین مقدار خیز برای ورق در نظر گرفته شده در وسط آن است و بنابراین با توجه به معادله انرژی جنبشی هر چه جرم در این نقطه متمنکر شود مقدار انرژی جنبشی نیز بیشتر می‌شود). بنابراین انرژی جنبشی کل نیز افزایش یافته و در نتیجه فرکانس طبیعی ورق کاهش می‌یابد، که این کاهش مطابق انتظار است.

جدول ۵ فرکانس بی بعد اول برای یک ورق مربعی مدرج،

$$p = 1$$

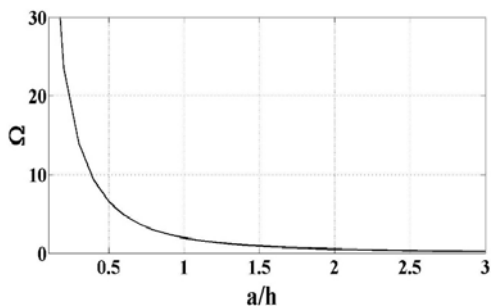
نوع ورق	بدون جرم	جرم در حالت کاهش	جرم در درصد کاهش	جرم در درصد حالت کاهش	نوع ورق
توانی	۰/۰۶۱۰	۰/۰۲۰۹	۶۵/۲۲	۰/۰۱۱۵	۸۰/۸۷
نمایی	۰/۰۵۹۹	۰/۰۲۰۱	۶۷/۴۴	۰/۰۱۱۶	۸۰/۶۳

جدول ۶ فرکانس بی بعد اول برای ورق توانی و یا سیگموید

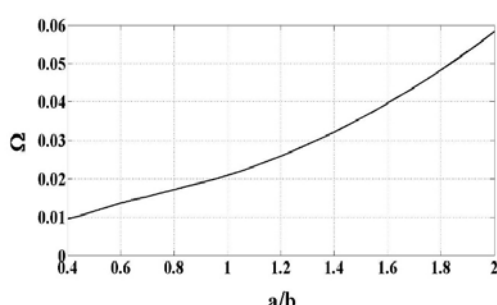
$$p = 1 \text{ با جرم گستردۀ } 1$$

$a/h = 20$	$a/h = 10$	$a/h = 5$	a/b
۰/۰۰۲۷	۰/۰۰۵۹	۰/۰۲۱۵	۰/۲
۰/۰۰۳۱	۰/۰۰۵۹	۰/۰۳۴۷	۰/۴
۰/۰۰۳۸	۰/۰۱۴۲	۰/۰۵۶۴	۰/۶
۰/۰۰۴۳	۰/۰۱۷۴	۰/۰۶۹۳	۰/۸
۰/۰۰۵۲	۰/۰۲۰۹	۰/۰۸۳۴	۱
۰/۰۰۶۵	۰/۰۲۵۹	۰/۱۰۳۲	۱/۲
۰/۰۰۸۰	۰/۰۳۲۱	۰/۱۲۸۰	۱/۴
۰/۰۰۹۹	۰/۰۳۹۶	۰/۱۵۷۷	۱/۶
۰/۰۱۲۱	۰/۰۴۸۳	۰/۱۹۲۱	۱/۸
۰/۰۱۴۶	۰/۰۵۸۳	۰/۲۳۱۵	۲

افزایش نسبت طول به ضخامت فرکانس بی بعد کاهش می یابد. در هر دو شکل مذکور ورق تحت اثر یک جرم گستردۀ موضعی در وسط ورق با نسبت جرم $0/5$ و ابعاد $4/0$ $c/a = d/b = 0/0$ قرار گرفته است.



شکل ۵ تغییرات فرکانس بی بعد با نسبت طول به ضخامت در یک ورق مدرج توانی



شکل ۶ تغییرات فرکانس بی بعد با نسبت طول به عرض در یک ورق مدرج توانی

تغییرات فرکانس طبیعی بی بعد ورق با افزایش نسبت جرم (r_m) برای یک ورق مربعی مدرج (در دو حالت مدرج توانی به ازای $p=1$ و مدرج نمایی) به ازای $a/h = 10$ در شکل (۷) نشان داده شده است. در این حالت جرم گستردۀ موضعی در وسط ورق و با ابعاد $4/0$ $c/a = d/b = 0/0$ فرض شده است. در این حالت با افزایش نسبت جرم به دلیل افزایش انرژی جنبشی ناشی از جرم، افزایش انرژی جنبشی کل فرکانس کاهش می یابد که این کاهش بدیهی و مطابق انتظار است. با توجه به نمودارهای نشان داده شده در این شکل، فرکانس‌های ورق مدرج توانی اندکی بالاتر

موضعی با نسبت جرم $5/0$ و ابعاد $4/0$ $c/a = d/b = 0/0$ در وسط ورق قرار گرفته است و نسبت $a/h = 10$ است. با توجه به مقادیر موجود در این جدول، مشاهده می شود که به طور کلی با افزایش p مقدار فرکانس کاهش می یابد. هم‌چنین کاملاً مشخص است که مقدار فرکانس برای ورق مدرج توانی کمتر از همان مقدار برای ورق مدرج سیگموید است. لذا ورق مدرج سیگموید صلیبت بیشتری از خود نشان می دهد. از طرفی با توجه به مقادیر فرکانس‌های موجود در جدول‌های (۴) و (۳) و جدول‌های (۷) و (۶) نشان داده شد که ورق مدرج توانی صلیبت بیشتری نسبت به ورق مدرج نمایی دارد.

جدول ۸ فرکانس بی بعد اول برای یک ورق مربعی

a/h با جرم گستردۀ 10	ورق مدرج سیگموید	ورق مدرج توانی	p
$0/0236$	$0/0234$	$0/1$	
$0/0229$	$0/0228$	$0/2$	
$0/0221$	$0/0219$	$0/5$	
$0/0209$	$0/0209$	1	
$0/0204$	$0/0217$	2	
$0/0202$	$0/0218$	5	
$0/0200$	$0/0208$	10	
$0/0199$	$0/0193$	20	
$0/0199$	$0/0175$	50	
$0/0199$	$0/0166$	100	

شکل‌های (۶) و (۵) به ترتیب اثر نسبت طول به ضخامت و طول به عرض را روی فرکانس طبیعی بی بعد اول یک ورق مدرج توانی به ازای $p=1$ نشان می دهند. در شکل (۵) ورق مربعی در نظر گرفته شده است و در شکل (۶) نسبت طول به ضخامت برابر با 10 است. همانطور که پیشتر با بررسی جدول‌های (۴) و (۳) هم‌چنین جدول‌های (۷) و (۶) ذکر شد، با افزایش نسبت طول به عرض فرکانس بی بعد افزایش و با

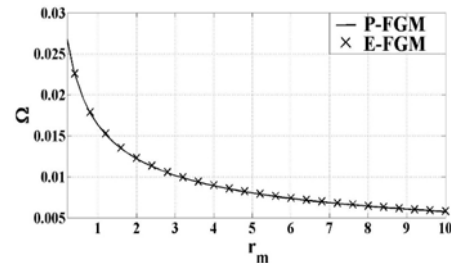
به شکل با افزایش سطح جرم فرکانس طبیعی بی‌بعد ورق افزایش می‌یابد. از آن‌جا که بیشترین میزان خیز ورق در نظر گرفته شده در وسط آن است هر چه سطح اثر جرم افزایش یابد انرژی جنبشی در سطح بیشتری که خیز کمتری دارد انتگرال‌گیری می‌شود و لذا مقدار آن کاهش می‌یابد. بنابراین کاملاً مشخص است که این کاهش باعث افزایش فرکانس می‌شود. در این حالت نیز مقدار فرکانس برای ورق مدرج توانی بیشتر از ورق مدرج نمایی است.

شکل (۹) اثر موقعیت جرم گستردۀ موضعی روی فرکانس طبیعی بی‌بعد یک ورق مدرج توانی ($p=1$) مربعی را نشان می‌دهد. در این حالت موقعیت جرم گستردۀ موضعی روی خط وسط ورق ($y_m/b = 0.5$) و روی خط یک چهارم بالایی و یا پایینی آن ($y_m/b = 0.25$) در حال تغییر است و نسبت جرم 0.5 و ابعاد آن $c/a = d/b = 0.1$ فرض شده است. با توجه به شکل هر چه جرم به وسط ورق نزدیک‌تر شود به دلیل افزایش انرژی جنبشی، فرکانس کاهش می‌یابد.

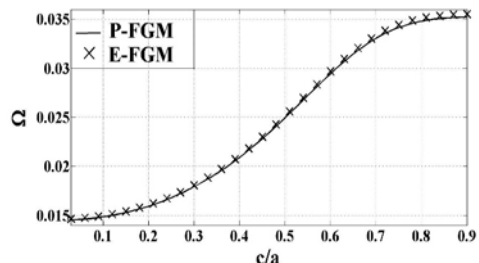
نتیجه‌گیری

در این مقاله ارتعاش آزاد یک ورق مدرج مستطیلی تحت اثر جرم گستردۀ موضعی بررسی شده است. ورق به سه حالت مدرج توانی، سیگموید و یا نمایی در نظر گرفته می‌شود. تکیه‌گاه ورق ساده در نظر گرفته شده و معادلات حرکت با استفاده از اصل همیلتون و بر اساس تئوری تغییرشکل برشی مرتبه سوم به دست آمده است. فرکانس‌های طبیعی ورق محاسبه شده است و اثر پارامترهای مختلفی مانند ابعاد ورق، نسبت جرم و سطح اثر و موقعیت جرم گستردۀ موضعی روی آنها بررسی شده است. با تحلیل نتایج مشخص شد که با افزایش نسبت طول به ضخامت و نسبت جرم، فرکانس بی‌بعد ورق کاهش و با افزایش نسبت طول به عرض و سطح اثر جرم، فرکانس افزایش می‌یابد. از طرفی هر

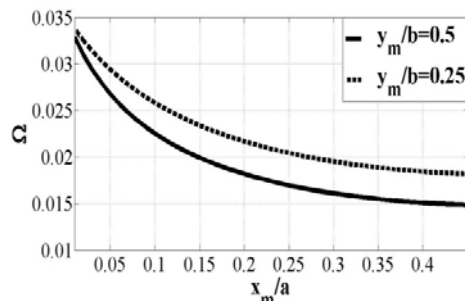
از فرکانس‌های ورق مدرج نمایی است. لذا ورق مدرج توانی صلبیت بیشتری نسبت به ورق مدرج نمایی دارد.



شکل ۷ تغییرات فرکانس بی‌بعد با نسبت جرم برای یک ورق مدرج مربعی



شکل ۸ تغییرات فرکانس بی‌بعد با افزایش سطح اثر جرم برای یک ورق مدرج مربعی



شکل ۹ تغییرات فرکانس بی‌بعد با تغییر مکان جرم برای یک ورق مدرج توانی

در شکل (۸) اثر افزایش سطح جرم روی فرکانس طبیعی بی‌بعد یک ورق مربعی مدرج (در سه حالت مدرج توانی و سیگموید به ازای $p=1$ و مدرج نمایی) به ازای $a/h = 10$ نشان داده شده است. در این حالت جرم به صورت مربعی ($d=c$) و در میانه ورق قرار دارد و مقدار جرم نیز نصف جرم ورق است. با توجه

می شود. با مقایسه نتایج به دست آمده با نتایج ارائه شده قبلی در حالت های مشابه نیز نشان داده شده است که نتایج حاضر از دقت خوبی برخوردار است.

چه جرم به میانه ورق نزدیک تر شود، فرکانس کاهش می یابد. هم چنین ورق مدرج سیگموید صلیبیت بیشتری از خود نشان می دهد که باعث افزایش فرکانس های آن

مراجع

1. Stavsky, Y., "On the theory of symmetrically heterogeneous plates having the same thickness variation of the elastic moduli", *Topics App. Mech.*, New York: American Elsevier, pp. 105, (1965).
2. Bert, C. W. and Chen, T.L.C., "Effect of shear deformation on vibration of antisymmetric angle-ply laminated rectangular plates", *Int. J. Solids Struct.*, Vol. 14, pp. 465-473, (1978).
3. Reddy, J.N., "Free vibration of antisymmetric angle-ply laminated plates including transverse shear deformation by the finite element method", *J. Sound Vib.*, Vol. 66(4), pp. 565-576, (1979).
4. Reddy, J.N. and Khdeir, A.A., "Buckling and vibration of laminated composite plates using various plate theories", *America. Inst. Aeronaut. Astornaut. J.*, Vol. 27(12), pp. 1808-1817, (1989).
5. Reddy, J.N., "Mechanics of Laminated Composite Plates", Second Edition, New York: CRC Press. (1997).
6. Khdeir, A.A. and Reddy, J.N., "Free vibration of laminated composite plates using second-order shear deformation theory", *Compos. Struct.*, Vol. 71, pp. 617-626, (1999).
7. Singh, B.N., Yadav, D. and Iyengar, N.G.R., "Natural frequencies of composite plates with random material properties using higher-order shear deformation theory", *Int. J. Mech. Sci.*, Vol. 43, pp. 2193-2214, (2001).
8. Kant, T. and Swaminathan, K., "Analytical solutions for free vibration of laminated composite and sandwich plates based on a higher-order refined theory", *Compos. Struct.*, Vol. 53, pp. 73-85, (2001).
9. Rastgaar, A., Mahinfalah, M. and Nakhaie Jazar, G., "Natural frequencies of laminated composite plates using third order shear deformation theory", *Compos. Struct.*, Vol. 72, pp. 273-279, (2006).
10. Kompaz, O. and Telli, S., "Free vibration of a rectangular plate carrying distributed mass", *J. Sound Vib.*, Vol. 251(1), pp. 39-57, (2002).
11. Wong, W.O., "The effects of distributed mass loading on plate vibration behavior", *J. Sound Vib.*, Vol. 252(3), pp. 577-583, (2002).
12. Alibeigloo, A., Shakeri, M. and Kari, M.R., "Free vibration analysis of antisymmetric laminated rectangular plates with distributed patch mass using third-order shear deformation theory", *Ocean Eng.*, Vol. 35, pp. 183-190, (2008).
13. Chi, S.H. and Chung, Y.L., "Mechanical behavior of functionally graded material plates under transverse load-Part I: analysis", *Int. J. Solids Struct.*, Vol. 43, pp. 3657-3674, (2006).
14. Vel, S.S. and Batra, R.C., "Three-dimensional exact solution for the vibration of functionally graded rectangular plates", *J. Sound Vib.*, Vol. 272, pp. 703-730, (2004).
15. Qian, L.F., Batra, R.C. and Chen, L.M., "Static and dynamic deformations of thick functionally

- graded elastic plates by using higher-order shear and normal deformable plate theory and meshless local Petrov–Galerkin method", *Compos., Part B*, Vol. 35, pp. 685–697, (2004).
- 16. Zenkour, A.M., "A comprehensive analysis of functionally graded sandwich plates: Part 2—Buckling and free vibration", *Int. J. Solids Struct.*, Vol. 42, pp. 5243–5258, (2005).
 - 17. Ferreira, A.J.M., Batra, R.C., Roque, C.M.C., Qian, L.F. and Jorge, R.M.N., "Natural frequencies of functionally graded plates by a meshless method", *Compos. Struct.*, Vol. 75, pp. 593–600, (2006).
 - 18. Hosseini, Sh., Hashemi, H., Rokni Damavandi, T., Akhavan, H. and Omidi, M., "Free vibration of functionally graded rectangular plates using first-order shear deformation plate theory", *Appl. Math. Model.*, Vol. 34, pp. 1276–1291, (2010).
 - 19. Talha, M. and Singh, B.N., "Static response and free vibration analysis of FGM plates using higher order shear deformation theory", *Appl. Math. Model.*, Vol. 34, pp. 3991–4011, (2010).
 - 20. Efraim, E., "Accurate formula for determination of natural frequencies of FGM plates basing on frequencies of isotropic plates", *Proce. Eng.*, Vol. 10, pp. 242–247, (2011).
 - 21. Uymaz, B., Aydogdu, M. and Filiz, S., "Vibration analyses of FGM plates with in-plane material inhomogeneity by Ritz method", *Compos. Struct.*, Vol. 94, pp. 1398–1405, (2012).
 - 22. Dogan, V., "Nonlinear vibration of FGM plates under random excitation", *Compos. Struct.*, Vol. 95, pp. 366–374, (2013).

پیوست الف)

مراحل به دست آوردن معادلات حرکت با استفاده از اصل هامیلتون:

۱- ابتدا صورت کلی اصل هامیلتون (رابطه ۴۰ مقاله) نوشته می شود:

$$0 = \delta \int_0^T (U - T) dt \Rightarrow 0 = \int_0^T (\delta U - \delta T) dt$$

۲- سپس معادلات انرژی کرنشی (رابطه ۲۸) و جنبشی ورق جایگذاری می شود:

$$\delta U = \int_0^a \int_0^b \int_{-h/2}^{h/2} (\sigma_{xx} \delta \varepsilon_{xx} + \sigma_{yy} \delta \varepsilon_{yy} + 2\sigma_{xy} \delta \varepsilon_{xy} + 2\sigma_{xz} \delta \varepsilon_{xz} + 2\sigma_{yz} \delta \varepsilon_{yz}) dx dy dz$$

$$\delta T = \delta T_p + \delta T_m$$

۳- سپس کرنش‌ها در معالات فوق جایگذاری می شود (روابط ۱۸):

$$\delta U = \int_0^a \int_0^b \int_{-h/2}^{h/2} [\sigma_{xx} (\delta \varepsilon_{xx}^0 + z \delta \varepsilon_{xx}^1 - c_1 z^3 \delta \varepsilon_{xx}^3) + \sigma_{yy} (\delta \varepsilon_{yy}^0 + z \delta \varepsilon_{yy}^1 - c_1 z^3 \delta \varepsilon_{yy}^3)] dx dy dz$$

$$+ \sigma_{xy} (\delta \varepsilon_{xy}^0 + z \delta \varepsilon_{xy}^1 - c_1 z^3 \delta \varepsilon_{xy}^3) + \sigma_{xz} (\delta \varepsilon_{xz}^0 + z^2 \delta \varepsilon_{xz}^2) + \sigma_{yz} (\delta \varepsilon_{yz}^0 + z^2 \delta \varepsilon_{yz}^2)] dx dy dz$$

$$\delta T_p = \int_0^a \int_0^b \int_{-h/2}^{h/2} \rho_0 [(\dot{u}_0 + z \dot{\phi}_x - c_1 z^3 \dot{\phi}_x) (\delta \dot{u}_0 + z \delta \dot{\phi}_x - c_1 z^3 \delta \dot{\phi}_x) +$$

$$(\dot{v}_0 + z \dot{\phi}_y - c_1 z^3 \dot{\phi}_y) (\delta \dot{v}_0 + z \delta \dot{\phi}_y - c_1 z^3 \delta \dot{\phi}_y) + \dot{w}_0 \delta \dot{w}_0] dx dy dz$$

$$\delta T_m = \int_{x_m - c/2}^{x_m + c/2} \int_{y_m - d/2}^{y_m + d/2} \gamma_0 [(\dot{u}_0 + z \dot{\phi}_x - c_1 z^3 \dot{\phi}_x) (\delta \dot{u}_0 + z \delta \dot{\phi}_x - c_1 z^3 \delta \dot{\phi}_x) +$$

$$(\dot{v}_0 + z \dot{\phi}_y - c_1 z^3 \dot{\phi}_y) (\delta \dot{v}_0 + z \delta \dot{\phi}_y - c_1 z^3 \delta \dot{\phi}_y) + \dot{w}_0 \delta \dot{w}_0] dx dy$$

۴- با قرار دادن روابط فوق در رابطه کلی اصل هامیلتون در مرحله بعد انتگرال‌گیری فقط روی محور z انجام می شود و تنش‌ها بر حسب متوجه‌های تنش (روابط ۲۱) نوشته می شوند.

۵- سپس با قرار دادن کرنش‌ها بر حسب جابه‌جایی‌ها (روابط ۲۲ و ۲۳) کل عبارت بر حسب جابه‌جایی نوشته می شود.

۶- در مرحله بعد معادلات بر حسب جابه‌جایی‌های مجازی ($\delta u_0, \delta v_0, \delta w_0, \delta \phi_x, \delta \phi_y$) به صورت پنج معادله مرتب شده و معادلات حرکت استخراج می شود. در این مرحله از هر یک از جابه‌جایی‌های مجازی ($\delta u_0, \delta v_0, \delta w_0, \delta \phi_x, \delta \phi_y$) فاکتور گیری می شود و عبارتی که ضریب هر یک از جابه‌جایی‌های مجازی است یک معادله حرکت است.

۷- در معادلات حرکت به دست آمده متوجه‌های تنش را می توان با استفاده از روابط (۲۲ و ۲۳) بر حسب کرنش‌ها و در نهایت بر حسب جابه‌جایی نوشت.

پیوست ب)

درایه‌های ماتریس سختی و جرم برای ماده با فرم PFGM به فرم زیر است:

$$c_1 = 4/(3h^2)$$

$$c_2 = 4/h^2$$

$$x_1 = x_m - c/2$$

$$y_1 = y_m - d / 2$$

$$const_1 = [\sin(\alpha a)(1 - \cos(\beta b))] / \alpha\beta$$

$$const_2 = [\sin(\beta b)(1 - \cos(\alpha a))] / \alpha\beta$$

$$const_3 = [1 - \cos(\alpha a)][1 - \cos(\beta b)] / \alpha\beta$$

$$const_4 = \sin(\alpha a) \sin(\beta b) / \alpha\beta$$

$$const_5 = \gamma_m [\cos(\beta(y_1 + d)) - \cos(\beta(y_1 - d))] [\sin(\alpha(x_1 + c)) - \sin(\alpha(x_1 - c))] / \alpha\beta$$

$$const_6 = \gamma_m [\sin(\beta(y_1 + d)) - \sin(\beta(y_1 - d))] [\cos(\alpha(x_1 + c)) - \cos(\alpha(x_1 - c))] / \alpha\beta$$

$$const_5 = \gamma_m [\cos(\beta(y_1 + d)) - \cos(\beta(y_1 - d))] [\cos(\alpha(x_1 + c)) - \cos(\alpha(x_1 - c))] / \alpha\beta$$

$$k_{11} = -const_1(A_1\alpha^2 + A_3\beta^2)$$

$$k_{12} = -const_1(A_2 + A_3)\alpha\beta$$

$$k_{13} = -const_1(E'_1\alpha^2 + E'_2\beta^2 + 2E'_3\beta^2)c_1\alpha$$

$$k_{14} = -const_1(-B_1\alpha^2 + c_1E'_1\alpha^2 - B_3\beta^2 + c_1E'_3\beta^2)$$

$$k_{15} = -const_1(-B^2 + c_1E'_2 - B_3 + c_1E'_3)\alpha\beta$$

$$k_{21} = -const_2(A_2 + A_3)\alpha\beta$$

$$k_{22} = -const_2(A_1\beta^2 + A_3\alpha^2)$$

$$k_{23} = -const_2(E'_2\alpha^2 + E'_1\beta^2 + 2E'_3\alpha^2)c_1\beta$$

$$k_{24} = -const_2(-B^2 + c_1E'_2 - B_3 + c_1E'_3)\alpha\beta$$

$$k_{25} = -const_2(-B_1\beta^2 + c_1E'_1\beta^2 - B_3\alpha^2 + c_1E'_3\alpha^2)$$

$$k_{31} = const_3(-E'_1\alpha^2 - E'_2\beta^2 - 2E'_3\beta^2)c_1\alpha$$

$$k_{32} = const_3(-E'_2\alpha^2 - E'_1\beta^2 - 2E'_3\alpha^2)c_1\beta$$

$$k_{33} = const_3(H_1c_1^2\alpha^4 + 2c_1^2H_2\alpha^2\beta^2 + c_1^2H_1\beta^4 + 4c_1^2H_3\alpha^2\beta^2 + A_3\alpha^2 - 2D_3c_2\alpha^2$$

$$+ c_2^2F_3\alpha^2 + A_3\beta^2 - 2c_2D_3\beta^2 + c_2^2F_3\beta^2)$$

$$k_{34} = const_3(-c_1F_1\alpha^3 + H_1c_1^2\alpha^3 - c_1F_2\alpha\beta^2 + c_1^2H_2\alpha\beta^2 - 2c_1F_3\alpha\beta^2 + 2c_1^2H_3\alpha\beta^2 + A_3\alpha - 2c_2D_3\alpha + c_2^2F_3\alpha)$$

$$k_{35} = const_3(-c_1F_2\alpha^2\beta + c_1^2H_2\alpha^2\beta - c_1F_1\beta^3 + c_1^2H_1\beta^3 - 2c_1F_3\alpha^2\beta + 2c_1^2H_3\alpha^2\beta + A_3\beta - 2c_2D_3\beta + c_2^2F_3\beta)$$

$$k_{41} = const_1(B_1\alpha^2 - c_1E'_1\alpha^2 + B_3\beta^2 - c_1E'_3\beta^2)$$

$$k_{42} = const_1(B_2 - c_1E'_2 + B_3 - c_1E'_3)\alpha\beta$$

$$k_{43} = const_1(-c_1F_1\alpha^3 + H_1c_1^2\alpha^3 - c_1F_2\alpha\beta^2 + c_1^2H_2\alpha\beta^2 - 2c_1F_3\alpha\beta^2 + 2c_1^2H_3\alpha\beta^2 + A_3\alpha - 2c_2D_3\alpha + c_2^2F_3\alpha)$$

$$k_{44} = const_1(D_1\alpha^2 - 2c_1F_1\alpha^2 + c_1^2H_1\alpha^2 + D_3\beta^2 - 2c_1F_3\beta^2 + c_1^2H_3\beta^2 + A_3 - 2c_2D_3 + c_2^2F_3)$$

$$k_{45} = const_1(D_2 - 2c_1F_2 + c_1^2H_2 - 2c_1F_3 + c_1^2H_3 + D_3)\alpha\beta$$

$$k_{51} = const_2(B_2 - c_1E'_2 + B_3 - c_1E'_3)\alpha\beta$$

$$k_{52} = const_2(B_1\beta^2 - c_1E'_1\beta^2 + B_3\alpha^2 - c_1E'_3\alpha^2)$$

$$\begin{aligned}
k_{53} &= \text{const}_2(-c_1 F_2 \alpha^2 \beta + c_1^2 H_2 \alpha^2 \beta - c_1 F_1 \beta^3 + c_1^2 H_1 \beta^3 - 2c_1 F_3 \alpha^2 \beta + 2c_1^2 H_3 \alpha^2 \beta \\
&\quad + A_3 \beta - 2c_2 D_3 \beta + c_2^2 F_3 \beta) \\
k_{54} &= \text{const}_2(D_2 - 2c_1 F_2 + c_1^2 H_2 - 2c_1 F_3 + c_1^2 H_3 + D_3) \alpha \beta \\
k_{55} &= \text{const}_2(D_1 \beta^2 - 2c_1 F_1 \beta^2 + c_1^2 H_1 \beta^2 + D_3 \alpha^2 - 2c_1 F_3 \alpha^2 + c_1^2 H_3 \beta^2 + A_3 - 2c_2 D_3 + c_2^2 F_3) \\
s_{11} &= \text{const}_1 I_0 - \text{const}_5 \\
s_{12} &= 0 \\
s_{13} &= \text{const}_1(-I_3 c_1 \alpha) + \text{const}_5[-(h^3/8)c_1 \alpha] \\
s_{14} &= \text{const}_1(I_1 - I_3 c_1) + \text{const}_5[-(h^3/8)c_1 + h/2] \\
s_{15} &= 0 \\
s_{21} &= 0 \\
s_{22} &= \text{const}_2 I_0 - \text{const}_6 \\
s_{23} &= \text{const}_2(-I_3 c_1 \beta) + \text{const}_6[-(h^3/8)c_1 \beta] \\
s_{24} &= 0 \\
s_{25} &= \text{const}_2(I_1 - I_3 c_1) + \text{const}_5[-(h^3/8)c_1 + h/2] \\
s_{31} &= \text{const}_3(-I_3 c_1 \alpha) + \text{const}_7[(h^3/8)c_1 \alpha] \\
s_{32} &= \text{const}_3(-I_3 c_1 \beta) + \text{const}_7[(h^3/8)c_1 \beta] \\
s_{33} &= \text{const}_3(I_6 c_1^2 \alpha^2 + I_6 c_1^2 \beta^2 + I_0) + \text{const}_7[(h^6/32)c_1^2(\alpha^2 + \beta^2) + 1] \\
s_{34} &= \text{const}_3(-I_4 c_1 + I_6 c_1^2) \alpha + \text{const}_7[-(h^4/16)c_1 \alpha + (h^6/32)c_1^2 \alpha] \\
s_{35} &= \text{const}_3(-I_4 c_1 + I_6 c_1^2) \beta + \text{const}_7[-(h^4/16)c_1 \beta + (h^6/32)c_1^2 \beta] \\
s_{41} &= \text{const}_1(I_1 - I_3 c_1) + \text{const}_5[(h/2) - (h^3/8)c_1] \\
s_{42} &= 0 \\
s_{43} &= \text{const}_1(-I_4 c_1 + I_6 c_1^2) \alpha + \text{const}_5[-(h^4/16)c_1 \alpha - (h^6/32)c_1^2 \alpha] \\
s_{44} &= \text{const}_1(I_2 - 2I_4 c_1 + I_6 c_1^2) + \text{const}_5[-(h^2/4) + 2(h^4/16)c_1 - (h^6/32)c_1^2] \\
s_{45} &= 0 \\
s_{51} &= 0 \\
s_{52} &= \text{const}_2(I_1 - I_3 c_1) + \text{const}_6[(h/2) - (h^3/8)c_1] \\
s_{53} &= \text{const}_2(-I_4 c_1 + I_6 c_1^2) \beta + \text{const}_6[(h^4/16)c_1 \beta - (h^6/32)c_1^2 \beta] \\
s_{54} &= 0 \\
s_{55} &= \text{const}_2(I_2 - 2I_4 c_1 + I_6 c_1^2) + \text{const}_6[-(h^2/4) + 2(h^4/16)c_1 - (h^6/32)c_1^2]
\end{aligned}$$